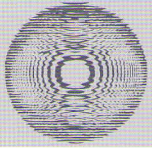


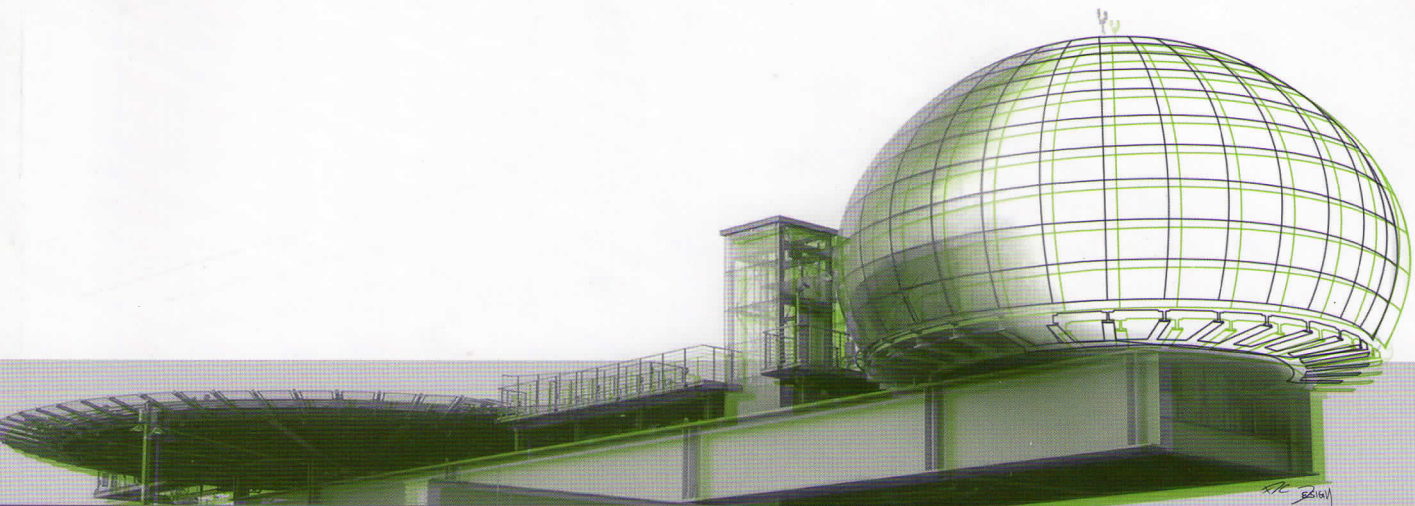
ABSTRACT BOOK



SIUMB2010

XXII CONGRESSO NAZIONALE

Società Italiana di Ultrasonologia in Medicina e Biologia



La Bolla del Lingotto, una proprietà del Gruppo IPI - www.ipi-spa.com

XXV Giornate Internazionali di Ultrasonologia

OVAL LINGOTTO

Torino 13 | 17 novembre 2010

PARAMETRI ECOGRAFICI RENALI PREDITTIVI DI INSUFFICIENZA RENALE OCCULTA
NEGLI ANZIANI

Romano G.*^[1], Perracchio G.^[4], Romano R.^[3], Zanolì L.^[1], Conti S.^[4], Luciani B.^[2], Rapisarda V.^[3],
Castellino P.^[1], Romano M.^[4]

^[1]Medicina Interna Policlinico Università ~ Catania - ^[2]Radiologia Ospedale Sirina ~ Taormina

^[3]Dottorato Fisiopatologia dell'invecchiamento Università ~ Catania - ^[4]Geriatría Arnas Garibaldi ~ Catania

Obiettivi dello studio: L'Insufficienza renale occulta (IRO), condizione caratterizzata da creatinina sierica (sCr) normale e velocità di filtrazione glomerulare (VFG) ridotta, è frequente negli anziani ospedalizzati ed aumenta il rischio di eventi farmacologici avversi. Le metodiche diagnostiche utilizzabili nella pratica clinica sono spesso ineseguibili per limiti di compliance dei pazienti (clearance creatinina) o perché non validate nella popolazione anziana (equazioni predittive della VFG). Pertanto abbiamo testato se parametri ecografici renali siano in grado di predire la IRO.

Materiali: Sono stati esaminati 61 pazienti anziani afferenti a struttura ospedaliera di geriatria, con creatinemia normale (<1.1 mg/dl), sottoposti ad ecografia addominale per varie indicazioni, previa esclusione delle seguenti condizioni: inadeguata visualizzazione dei reni, presenza di cisti renali multiple o singole >2.5 cm, malformazioni e tumori renali, dilatazione delle vie urinarie, malattie renali note (pregresse o attive), impossibilità di eseguire una attendibile clearance della creatinina (CICr). Gli esami ecografici sono stati eseguiti da un singolo operatore esperto con un ecografo Esaote MyLab25 e sonda convex 3.5-5 MHz. Le variabili ecografiche sono state raccolte secondo una procedura standardizzata. Per l'analisi statistica sono stati utilizzati il Hosmer-Lemeshow Goodness-of-Fit Test, R² di Cox e Snell e l'area sotto la curva ROC. Inoltre, tutte le variabili selezionate all'analisi univariata (p<0.10), ricodificate in accordo al best cut-off, sono state analizzate in un modello di regressione logistica multivariata per CICr 24h < 60 ml/min.

Risultati: IRO era presente in 28 pazienti (45.9%). Le caratteristiche cliniche della popolazione e dei pazienti con e senza IRO sono riportate in tabella. Area di sezione massima (ASM) totale bilaterale < 75.5 cm² (OR 16.8; 95%CI 3.0-94.6; p<0.05) e spessore parenchimale medio (SPM) < 11.2 mm (OR 5.4; 95%CI 1.0-28.4; p<0.05) sono stati selezionati come predittori indipendenti di CICr 24h < 60 ml/min. Il test di Hosmer-Lemeshow non era significativo (p=0.870), Cox e Snell R² era 0.41. L'area sotto la curva ROC per il modello selezionato era 0.85 (95%CI 0.75-0.96; p<0.001).

Conclusioni: ASM totale < 75.5 cm² e SPM < 11.2 mm hanno dimostrato un buon potere discriminante per IR occulta. Tale rilievo supporta l'impiego dell'ecografia per individuare gli anziani con IRO, in particolare nei casi di difficile esecuzione della CICr o di indisponibilità di parametri per le equazioni predittive, onde adeguare le scelte terapeutiche e la posologia dei farmaci.

	Popolazione N=61		IRO n=28 (CrCl<60 ml/m)		No IRO n=33 (CrCl<60 ml/m)		IRO vs No IRO p
	Media	DS	Media	DS	Media	DS	
Sesso maschile (%)	37.7		25 %		48 %		NS
Età (anni)	79.0	7.5	81.1	6.4	77.2	8.0	<0.05
Altezza (m)	1.58	0.10	1.56	0.12	1.59	0.08	NS
Peso (Kg)	64.3	13.0	61.0	12.5	67.2	13.0	NS
Creatininemia (mg/dl)	0.82	0.17	0.87	0.14	0.78	0.18	<0.05
CICr24h (ml/min)	66.2	25.1	45.4	10.6	84.4	19.0	<0.001
Body Mass Index (Kg/m ²)	25.9	5.3	25.3	5.5	26.5	5.1	NS
Superficie corporea (m ²)	1.69	0.20	1.64	0.20	1.74	0.19	<0.05
Diametro longitudinale renale bilaterale (mm)	219.1	19.9	209.8	19.9	227.0	16.3	<0.001
Volume renale bilaterale (ml)	276.0	68.8	239.0	63.3	307.5	57.3	<0.001
Volume renale parenchimale bilaterale (ml)	199.2	46.4	175.1	46.9	219.7	35.2	<0.001
Spessore parenchimale medio bilaterale (mm)	12.02	1.77	11.09	1.70	12.80	1.43	<0.001
ASM totale bilaterale (cm ²)	84.2	17.0	75.0	15.6	92.0	14.1	<0.001
ASM parenchimale bilaterale (cm ²)	53.1	9.9	47.7	9.9	57.6	7.5	<0.001

Curva ROC

